

УДК 533.6.013

ЭКСПЕРИМЕНТАЛЬНОЕ ИССЛЕДОВАНИЕ ТЕЧЕНИЯ
В ТРЕХМЕРНЫХ ОТРЫВНЫХ ЗОНАХ ПЕРЕД УСТУПАМИ

Б. Е. Лужанский, В. П. Солнцев

(Москва)

Изложены некоторые результаты экспериментального исследования дозвукового течения в зонах отрыва трехмерного турбулентного пограничного слоя, образующихся перед цилиндрическими уступами, прямоугольными параллелепипедами и щитками. Отношение ширины уступов к высоте изменялось от 0.25 до 24, а отношение толщины пограничного слоя в точке отрыва к высоте уступа — от 0.2 до 2.

Выявлены схемы течения, показано влияние геометрической формы уступа, отношения ширины к высоте уступа, параметров пограничного слоя, чисел Эйлера и Рейнольдса на картину течения и координаты характерных точек в отрывной зоне. Получены данные для определения размеров трехмерных отрывных зон перед уступами.

Течение и теплообмен в трехмерных отрывных зонах при дозвуковой скорости потока изучены недостаточно. Опубликованные в работах [1–3] отрывочные данные не дают возможности определить схему течения, распределение статического давления и характерные размеры отрывных зон, которые необходимы [4] для расчета теплообмена в отрывных зонах.

1. Эксперименты проводились в дозвуковой аэродинамической трубе с открытой рабочей частью. Число Маха M достигало 0.72. Число Рейнольдса, рассчитанное по параметрам набегающего потока и высоте уступа, изменялось от 10^4 до $3.5 \cdot 10^5$.

Экспериментальный участок представлял собой пластину шириной 350 мм и длиной 700 мм, на которую устанавливались уступы высотой H от 7.5 до 120 мм и диаметром D или шириной B от 15 до 180 мм. Лобовая поверхность большинства уступов была нормальной к поверхности пластины. Для цилиндрических уступов с отношением диаметра к высоте образующей лобовой поверхности (в плоскости симметрии), равном 1, было проведено исследование с изменением угла наклона оси цилиндра до 45° навстречу потоку и до 43° по потоку.

Толщина δ турбулентного пограничного слоя в плоскости симметрии отрывного сечения изменялась от 2.7 до 20 мм. При этом отношение δ / H было как меньше, так и больше единицы. Например, δ / H перед цилиндрическим уступом с $D / H = 2$ изменялось от 0.2 до 2.

2. Для исследования картины течения на поверхность модели наносились капли масла, краски или сажи с керосином. Течение пленки краски наблюдалось визуально и фотографировалось во время работы аэrodинамической трубы.

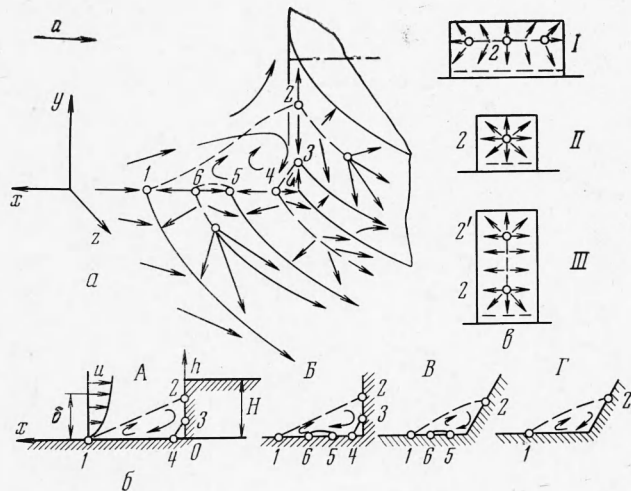
Исследование показало, что картина течения в окрестности уступов определяется геометрической формой уступа (цилиндр, параллелепипед и т. д.), параметрами D / H , δ / H или δ / D . Кроме того, схема течения в отрывной зоне перед уступом зависит, как и в случае двумерного течения, от критерии Эйлера и Рейнольдса

$$E = p (\rho u^2)^{-1}, \quad R = uH / v$$

где u , ρ , p , v — скорость, плотность, статическое давление и коэффициент кинематической вязкости в набегающем потоке.

Схемы течения в трехмерных отрывных зонах, выявленные в результате исследования, показаны на фиг. 1. Трехмерный пограничный слой,

развивающийся в области повышенного давления перед уступом, отрывается от поверхности пластины на линии отрыва 1 и присоединяется к лобовой поверхности уступа с образованием линии или точки растекания 2. Часть потока поступает в отрывную зону перед уступом, откуда частично вытекает в боковом направлении. Плоскость симметрии перед уступом является плоскостью растекания.



Фиг. 1

Пристеночный пограничный слой, образовавшийся при течении газа от линии или точки 2, отрывается от лобовой поверхности уступа на линии отрыва 3 и присоединяется на линии растекания 4, образуя в углу у основания уступа дополнительную трехмерную отрывную зону 3—4. Схема течения с одной дополнительной отрывной зоной 3—4 обозначена на фиг. 1, б буквой А.

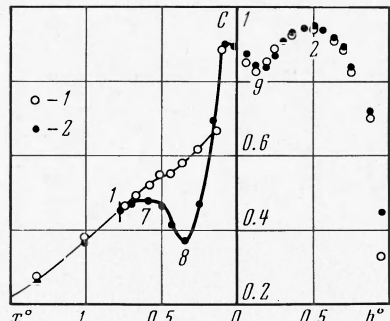
Как и в случае двумерного течения [4], пристеночный пограничный слой может оторваться на линии отрыва 5 и присоединиться к пластине с образованием линии или точки растекания 6. Схема течения в отрывной зоне с двумя дополнительными отрывными зонами 3—4 и 5—6 обозначена на фиг. 1, б буквой Б. При изменении угла наклона образующей были получены схемы течения В и Г.

Сопоставление данных визуализации течения с результатами исследования распределения статического давления показало, что перестройка схемы течения от А к Б или от В к Г связана с качественным изменением распределения статического давления в отрывной зоне.

На фиг. 2 показано, распределение коэффициентов статического давления в плоскости симметрии перед уступом с $D/H = 2$ и $\delta^*/H = 0.055$, где δ^* — толщина вытеснения пограничного слоя в плоскости симметрии в точке отрыва 1

$$C = 2(p_0 - p)(\rho u^2)^{-1}$$

4*



p_0 — статическое давление на поверхности, $x^o = x / H$ и $h^o = h / H$ — безразмерные координаты, отсчитываемые от основания уступа (фиг. 1, б).

В определенной области значений критериев Эйлера и Рейнольдса (например, при $E = 430$ и $R = 2 \cdot 10^4$, которым на фиг. 2 соответствуют экспериментальные точки 1) статическое давление в зоне обратных токов на пластине монотонно уменьшается от максимума на линии растекания 4 до давления на линии отрыва 1. При таком характере изменения давления на пластине течение осуществляется по схемам А или Г (фиг. 1, б).

При других значениях критериев E и R (например, при $E = 13$ и $R = 1.2 \cdot 10^5$, которым на фиг. 2 соответствуют точки 2) под центром вихря появляется минимум давления. Если положительные градиенты давления в зоне обратных токов достигают значительной величины, то происходит отрыв пристеночного пограничного слоя и течение осуществляется по схемам Б или В (фиг. 1, б).

Границные значения критериев E и R , при которых происходит качественное изменение характера распределения статического давления в зоне обратных токов и перестройка схемы течения, зависят от геометрической формы уступа и параметров D / H , δ / H или δ / D .

Схемы течения на лобовой поверхности уступов показаны на фиг. 1, в. При небольшой трехмерности течения в отрывной зоне присоединение потока происходит по схеме I с образованием линии растекания 2, аналогичной линии растекания на двумерном уступе. При большей трехмерности течения осуществляются схемы II или III с образованием точки растекания 2 или линии растекания 2 — 2'.

Следует заметить, что схемы течения на лобовой поверхности зависят не только от геометрической формы уступа и параметра D / H , но также от относительной толщины пограничного слоя. Например, при $D / H = 1$ уменьшение δ^* / D от 0.03 до 0.02 приводит к перестройке схемы течения от II к III.

Для приближенной характеристики трехмерности течения в отрывной зоне в окрестности точки 2 целесообразно использовать параметр

$$K \sim \frac{du}{dz} / \frac{du}{dh}$$

где z — координата, нормальная к плоскости симметрии.

Анализ экспериментальных данных по распределению статического и полного давления показал, что в исследованном диапазоне определяющих параметров приближенно можно принять

$$du / dz \sim u / D, \quad du / dh \sim u (\Delta C)^{0.5} / h_2$$

Тогда

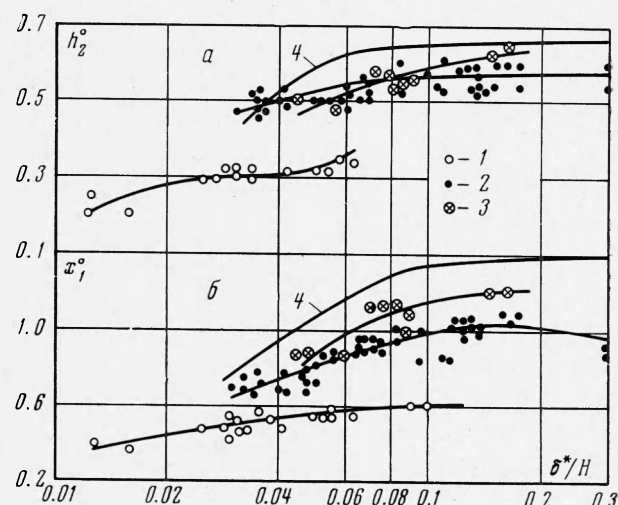
$$K = h_2 D^{-1} (\Delta C)^{-0.5}$$

где $\Delta C = C_2 - C_9$ — максимальный перепад коэффициентов давления в плоскости симметрии отрывной зоны на уступе (см. фиг. 2). Индексы 1, 2, 3 и т. д. относятся к параметрам в соответствующих точках плоскости симметрии, обозначенных на фиг. 1 и фиг. 2.

Этот параметр может быть использован при определении границы области существования схемы течения I для обобщения данных, полученных при разных значениях δ^* / D , D / H и углах наклона образующей. При $K < 0.5$ трехмерность течения в окрестности точки 2 в плоскости симметрии цилиндрических уступов невелика и оторвавшийся поток присоединяется к уступу с образованием линии растекания по схеме I. При $K > 0.5$ растекание от точки 2 происходит во всех направлениях (схема II) или

в ограниченном секторе направлений (схема III). На уступах с плоской лобовой поверхностью течение по схеме I осуществляется при $K < 1$.

3. Рассмотрим результаты измерения координат линий или точек растекания и стекания на поверхности уступа и пластины. На фиг. 3 приведены зависимости координат точек отрыва 1 и присоединения 2 в плоскости симметрии отрывных зон перед цилиндрическими уступами от параметра δ^*/H . Экспериментальные точки 1, 2 и 3 получены при значениях $D/H = 1, 2$ и 4 соответственно. Цифрой 4 обозначена кривая, осредняющая результаты измерения размеров двумерных отрывных зон, приведенная в работе [4].



Фиг. 3

Размеры отрывных зон перед прямоугольными параллелепипедами и щитками изменяются аналогично, причем при $B/H = 2$ и 4 и $\delta^*/H \leq 0.12$ экспериментальные данные почти совпадают с кривой 4 на фиг. 3.

Приводим также осредненные координаты точек 1 и 2 перед параллелепипедами с $B/H = 1$ (при $\delta^*/H = 0.03, 0.07$ и 0.1 величина $x_1^\circ = 0.72, 0.74$ и 0.72 , а $h_2^\circ = 0.5, 0.53$ и 0.62 соответственно) и перед цилиндрическим уступом с $D/H = 0.25$ (при $\delta^*/D = 0.03, 0.06$ и 0.11 величина $x_1/D = 0.51, 0.57$ и 0.62 , а $h_2/D = 0.47, 0.61$ и 0.7 соответственно). Экспериментов при $D/H < 0.25$ не проводилось, так как по данным работы [1] дальнейшее уменьшение этого параметра не приводит к изменению течения перед основанием уступа.

Анализ полученных данных показал, что координаты точек 1 и 2 определяются геометрической формой уступа, параметрами D/H , δ^*/H или δ^*/D и не зависят от числа Рейнольдса. Изменение числа Эйлера до $E \geq 2$, что соответствовало числам Маха $M \leq 0.55$, также не влияет на координаты x_1° и h_2° .

При больших значениях чисел M , например $M = 0.72$ ($E = 1.1$), наблюдалось некоторое увеличение размеров отрывных зон перед уступами с $D/H \leq 2$. Это, по-видимому, связано с появлением в окрестности уступа локальных областей сверхзвукового течения, на что указывает наличие на боковой поверхности уступов и на пластине участков с $C \approx -1$, вблизи которых расчетная скорость течения при $M > 0.7$ превышает звуковую.

Из данных на фиг. 3 видно, что увеличение параметра D / H приводит к увеличению относительных размеров отрывной зоны, которые в плоскости симметрии стремятся к размерам двумерной зоны. Предельное значение параметра D / H , дальнейшее увеличение которого перестает влиять на величины x_1° и h_2° , зависит от геометрической формы уступа и параметра δ^* / H . Например, в плоскости симметрии отрывных зон перед прямоугольными параллелепипедами и щитками x_1° и h_2° при $\delta^* / H = -0.12$ совпадают с размерами двумерной зоны при $B / H \geq 2$. Уменьшение δ^* / H до 0.03 приводит к независимости x_1° и h_2° от отношения ширины к высоте уступа уже при $B / H \geq 1$.

Следует, однако, отметить, что при этом картина течения и распределение статического давления в отрывной зоне отличаются от двумерного случая. Визуализация потока показала, что даже при $B / H = 16$ течение на поверхности пластины между линиями отрыва 5 и 1 было трехмерным в непосредственной близости от плоскости симметрии, хотя координаты линии отрыва 1 и линии присоединения 2 оставались постоянными до расстояния $z / H = 6$ (z отсчитывается от плоскости симметрии).

Кроме координат x_1 и h_2 проводились измерения координаты линии отрыва x_5 . Анализ экспериментальных данных показал, что координата x_5° зависит не только от параметров D / H и δ^* / H (или δ^* / D), но, как в двумерном случае [4], и от чисел Эйлера и Рейнольдса.

Авторы благодарны В. С. Авдуевскому за обсуждение результатов работы.

Поступила 12 VII 1971

ЛИТЕРАТУРА

1. Sykes D. M. The supersonic and low-speed flows past circular cylinders of finite length supported at one end. *J. Fluid Mech.*, 1962, vol. 12, pt 3.
2. Heyser A., Maue F. Experimentelle Untersuchungen an festen Spoilern und Strahlspoilern bei Machschen Zahlen von 0,6 bis 2,8. *Z. Flügwiess*, 1962, Jrg. 10, H. 4/5.
3. Chapman D. R., Ciehn D. M., Larson H. K. Investigation of separated flows in supersonic and subsonic streams with emphasis on the effect of transition. NACA Rept No. 1356, 1958.
4. Лужапский Б. Е., Солнцев В. П. Экспериментальное исследование теплообмена в зонах отрыва турбулентного пограничного слоя перед уступом. ПМТФ, 1971, № 1.